


ISSN 0125-1724
วิศวสาร
ลาดกระบัง
ดำเนินการโดยสถาบันเทคโนโลยีพระจอมเกล้าเจ้าคุณทหารลาดกระบัง

LADKRABANG ENGINEERING JOURNAL

ปีที่ 23 ฉบับที่ 3
กันยายน 2549

1.	ข้อมูลสมบูรณ์ของการสกัดน้ำมันงาโดยใช้เครื่องอัดเย็นเป็นตัวทำละลาย	1
	รีนฤทธิ์ เมฆาจงคปะเสรีรุํ	
2.	การทำจัดสีย้อมฟ้าสนธิบีในน้ำเดียสังเคราะห์ด้วยวิธีไฮโดรเจน	7
	สุชาตินี เนรมิตกพงศ์ อรุณรัตน์ เนรมิตกพงศ์	
3.	การศึกษาพื้นที่ไวแสงประดิษฐ์ผลของชิลล่อนไฟใต้ไดโอดชนิด p-i-n แบบพลาบาร์	13
	คงศักดิ์ อัมฉิรไ สมเทียรติ ศุภเดช	
4.	แบบจำลองทางคณิตศาสตร์ของเซลล์แสงอาทิตย์สำหรับแบบจำลองแผ่นสังจายไฟจากเซลล์แสงอาทิตย์ที่ถูกต้อง	18
	เอก อรือตระการวิวัฒน์ วิฑูรัย ภูรักษ์ วิจิตร กิณรงค์	
5.	วงจรกำเนิดสัญญาณไขน์หลายเฟสแบบปรับค่าด้วยวิธีทางอิเล็กทรอนิกส์โดยใช้ไอทีแบบหลายເອົາຕຸຫຼຸກ	24
	สุดารัตน์ จินตนปัญญา กอบชัย เศรษฐ	
6.	การพยายามความต้องการใช้พลังไฟฟ้าสูงสุดระหว่างทางของระบบ กฟน. โดยใช้โครงข่ายประเทศไทย	30
	จตุพร ธรรมเจริญ สมชาย จิริวิภากร	
7.	การทำนายค่าความสูญเสียในหม้อแปลงจำนวนน้ำยาโดยวิธีโครงข่ายประเทศไทยโดยนิยมชนิดแพร์คาย้อนกลับ	36
	บุษพิศา สุทธิพินทอง มนพัล ลีลาจินดาไกรฤทธิ์	
8.	อินเวอร์เตอร์หลายระดับชนิดแคนเดคเดลล์จ่ายที่มีการซึ่งผ่านกำลังไฟฟ้าสูงโดยใช้เทคนิคการทำจัด	42
	ยาร์มอนิกส์ที่เหมาะสม	
	ศิทธิพร เจริญนันทพิสุทธิ์ วิจิตร กิณรงค์	
9.	การทำนายเริงตัวเลขของผลของการปรับแต่งพื้นเพียงตรงโดยวิธีเชื่อมหน้าพื้นต่อการหล่อลื่นแบบ	48
	อิลัสต์โรไดร์ไนมิกส์	
	อานันทพลด แสนคำ มานะศักดิ์ พิมสาร	

การศึกษาเชิงตัวเลขของการปรับแต่งฟันเพื่อทรงโดยวิธี เฉือนหน้าฟันต่อการหล่อลื่นแบบอิลาสโตไฮดริดนามิกส์

A Numerical Study on the Effect of Spur Gear Tooth Shaving On Elastohydrodynamic Lubrication

อานันทพล แสนคำ, มาศักดิ์ พิมสาร
ภาควิชาวิศวกรรมเครื่องกล คณะวิศวกรรมศาสตร์ สถาบันเทคโนโลยีพระจอมเกล้าเจ้าคุณทหารลาดกระบัง

บทคัดย่อ

บทความนี้มีจุดงมายเพื่อทำการศึกษาเชิงตัวเลข ของ การปรับแต่งฟันเพื่อทรงโดยวิธีเฉือนหน้าฟัน ต่อแรงผลวัตถุที่เกิดขึ้น และประสิทธิภาพของการหล่อลื่น อันได้แก่ ความดันของพื้นที่ลื่นของภาระหล่อลื่นและความหนาพื้นที่ลื่นต่ำสุดของสารหล่อลื่น ใน การปรับแต่งฟันโดยวิธีเฉือนหน้าฟันจะมีค่าแปรไปได้ช้าลงอีก 2 ตัวคือ ค่า Tip Relief และค่า Starting Angle ทฤษฎีที่ใช้ในการวิเคราะห์ประกอบด้วย พลศาสตร์ของระบบ เพื่อให้ทราบ และการหล่อลื่นแบบอิลาสโตไฮดริดนามิกส์ ที่ความเร็วรอบถูก ผลที่ได้จากการจำลองที่ความเร็วรอบที่ 9,000 และ 12,000 รอบต่อนาที แสดงให้เห็นว่าผลจาก การปรับแต่งฟันเพื่อทรงโดยวิธีเฉือนหน้าฟัน จะส่งผลให้แรงผลวัตถุที่เกิดขึ้นบนหน้าตีนผัสดของฟันเพื่อทรงมีค่าเพิ่มมากขึ้น ผลของการเพิ่มน้ำหนักของแรงผลวัตถุจะส่งผลให้ความดันของภาระหล่อลื่นที่อุดตันผู้น้ำหนักน้ำหนักต่ำสุดที่ได้ ณ ตำแหน่งต่างๆ บนผิวน้ำหน้าตีนผัสดของฟันเพื่อ ซึ่งจะทำให้ความสามารถในการทำงานดีขึ้น จึงเกิดความเสียหายมากที่สุด จากการจำลองพบว่า สำหรับระบบเพื่อที่ไม่มีการปรับแต่ง ณ ตำแหน่งต่อหน้าและหลังจุดพิทักษ์ความดันของภาระหล่อลื่นมีค่าสูงสุดและ ความหนาพื้นที่ลื่นจะบางที่สุด ตั้งนี้ ณ ตำแหน่งนี้จะเป็นตำแหน่งที่มีแนวโน้มต่อการเสียหายแบบรอยญูม (pitting failure) มากที่สุดบนฟันเพื่อ สำหรับระบบเพื่อที่มีการปรับแต่งฟันพบว่า ณ บริเวณจุดพิทักษ์จะเป็นตำแหน่งที่มีแนวโน้มต่อการเสียหายแบบรอยญูมมากที่สุดบนฟันเพื่อ

Abstract:

The purpose of this article is to numerically investigate the effect of tooth shaving on dynamic tooth load and lubrication performance of spur gear system. The lubrication performance considered in this research consists of oil film pressure and minimum oil film thickness. The parameters of tooth shaving method are an amount of tip relief and a starting roll angle. The theory of 3-D spur gear dynamics and elastohydrodynamic lubrication are employed to evaluate dynamic tooth load and lubrication performance of the gear system, respectively. The gear operating speeds used in this paper is 9,000 rpm and 12,000 rpm. The simulated results indicate that, the dynamic tooth load is increased when the gear system is operated at these speeds. With the increased of dynamic tooth load, oil film pressure is increased and

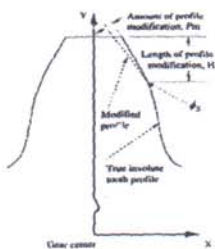
minimum oil film thickness is reduced. The calculated results are later plotted to display the oil film pressure and minimum oil film thickness distributions as a function of contacting point on gear tooth surface. From these curves, it is found that, in the unmodified gear system, oil film pressure is maximum and minimum oil film thickness is lowest at the locations before and after the pitch point. Therefore, surface pitting failure is likely to occur at these positions. On the other hand, in the modified gear system, surface pitting failure is likely to occur at the pitch region.

1. บทนำ

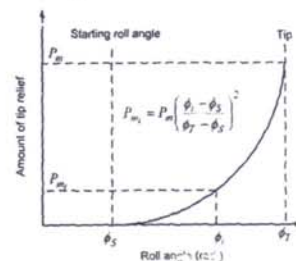
การใช้งานเพื่อคงในงานอุตสาหกรรมต่างๆ มีอย่างมากนยนท์ ซึ่งการที่เพื่องจะใช้การไม่ได้จะเกิดจาก การที่ฟันเพื่องได้รับความเสียหาย ซึ่งเกิดจากความ เสียหายจากการคัดตัว (Bending stress) หรือความ เสียหายเมื่อจราจรอยู่นั่น ความเสียหายของฟันเพื่องเกิด ให้หลายกรณี เช่น การใช้วัสดุที่ไม่ดี การออกแบบไม่ เหมาะสม หรือการใช้งานเกินกำลัง อย่างไรก็ตามการขัด อาบุการใช้งานของเพื่อง ทางหนึ่งคือการลดแรงผลวัตรที่ กระทำกับฟันเพื่องให้ต่ำและมีการหล่อเลี้นที่ดี ซึ่งวิธีการ ปรับแต่งรูปร่างฟันโดยการเดือนหน้าฟัน เป็นการอธิบาย และนำเสนอที่มีผลกระทบกับแรงผลวัตรของฟันเพื่อง โดยเฉพาะมาพิจารณา การปรับแต่งนี้เป็นการปรับแต่ง โดยอ้างอิงถึงค่าทั่วไปของหน้าฟันเพื่องของ

เมื่อ

P_m คือ พลรุ่มนของฟันเพื่องที่ทำการปรับแต่งที่จุดปลาย ϕ_s คือ มุมหมุนที่จุดเริ่มของการปรับแต่งฟัน ϕ_t คือ มุมหมุนที่จุดปลายของการปรับแต่งฟันเพื่อง ซึ่งสมการที่ (1) นี้นับมาถึง พลรุ่มนการส่งถ่ายที่นั่นมนวน จากการปรับแต่งฟันเพื่อง[1]



รูปที่ 1 แสดงรูปร่างการปรับแต่งฟันเพื่อง[1]



รูปที่ 2 แสดงฟังก์ชันการปรับแต่งฟันเพื่อง[1]

2. ทฤษฎี

2.1 การปรับแต่งฟันเพื่องคง

การปรับแต่งฟันเพื่องคงนี้ใช้วิธีการเดือนหน้าฟัน ซึ่งจะอธิบายค่าพารามิเตอร์ต่างๆ ที่มีความสำคัญ ซึ่งมี ผลกระทบต่อแรงผลวัตรของฟันเพื่องโดยเด่นทาง ซึ่งการ เดือนหน้าฟันจะทำการนับเนื้อฟันเพื่องออกค่าน้ำหนักใน แนวคงทั้งสองข้างท่ามกัน อุดที่ทำการรีเมเดียนไว้/ ชนิดของจุดบนวงรีนเดือนทั้งสองข้างในรูปที่ 1 ซึ่งแสดง การปรับแต่งฟันเพื่องจากอุตสาหกรรมหมุนลึกลับ ผลรุ่มน ของส่วนปลายฟันที่ปรับแต่ง P_{m_i} ที่จุด i ต่างๆ ได้ กำหนดโดยสมการดัง[1]

$$P_{m_i}(\phi) = P_m \left(\frac{\phi - \phi_s}{\phi_t - \phi_s} \right)^2 \quad (1)$$

2.2 แรงผลวัตร

แรงที่กระทำกับระบบฟันเพื่องที่ส่งถ่ายการเคลื่อนที่ ระหว่างฟันเพื่องสองฟันในการขันจะมีแรงกระทำ ที่เกิดขึ้นซึ่งเรียกว่าแรงผลวัตรที่เกิดกับคู่ฟันเพื่อง ซึ่งจะ

พิจารณาจากผลศาสตร์การเคลื่อนที่ของพื้นเพื่อทรงตัว
ให้สมการดังนี้[1]

$$\sum \bar{F}^{ext} = m\bar{a}_{cm} \quad (2)$$

$$\sum \bar{M}_{cm}^{ext} = \dot{\bar{H}}_{cm} \quad (3)$$

เมื่อ \bar{F}^{ext} คือ แรงภายนอกที่กระทำต่อพื้น

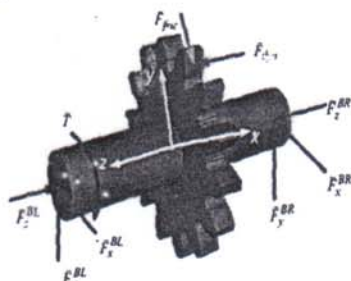
m คือ มวลของพื้นเพื่อ

\bar{a}_{cm} คือ ความเร่งของจุดศูนย์กลางมวลของพื้นเพื่อ

\bar{M}_{cm}^{ext} คือ โมเมนต์รอบจุดศูนย์กลางมวลของพื้นเพื่อ

$\dot{\bar{H}}_{cm}$ คือ อัตราการเปลี่ยนแปลงโมเมนต์เชิงมุม
รอบจุดศูนย์กลางมวล

ช่องผลศาสตร์ของพื้นเพื่อทรงตัวนี้แรงที่กระทำดังแสดง
ในรูปที่ 3



รูปที่ 3 แสดงถึงแรงที่กระทำต่อระบบเพื่อทรงตัว[1]

เมื่อ \bar{F}_{dyn} แรงกดตัวที่พื้นเพื่อ

\bar{F}_{frc} แรงตีบทางที่พื้นเพื่อ

$\bar{F}_x^{BL}, \bar{F}_y^{BL}, \bar{F}_z^{BL}$ คือแรงจากแนวร่องรั้งด้านซ้าย

$\bar{F}_x^{BR}, \bar{F}_y^{BR}, \bar{F}_z^{BR}$ คือแรงจากแนวร่องรั้งด้านขวา

T คือแรงบิดที่กระทำกับเพลา

แรงผลักดัน จะได้จากสมการ [1]

$$\bar{F}_{d_{1,1}} = \bar{F}_{cont} + \bar{F}_{damp} \quad (4)$$

เมื่อ \bar{F}_{cont} คือแรงสัมผัสน้ำหน่วงพื้นเพื่อ

\bar{F}_{damp} คือแรงหน่วงระหว่างพื้นเพื่อ

ในการสัมผัสน้ำหน่วงพื้นเพื่อทรงตัวนี้แรงที่กระทำต่อพื้นประมวลว่า
เป็นการสัมผัสระหว่างทรงกระบอกสองอันที่มีรัศมี

ต่ำกว่า ซึ่งรัศมีที่เปลี่ยนไปตามเส้นแนวกรอบทำง่ายได้
ร้าว[2]

$$\rho_r = \frac{\rho_1 \rho_2}{\rho_2 + \rho_1} \quad (5)$$

เมื่อ ρ_1 คือ รัศมีส่วนมุมของต่ำกว่า ให้ และ ชุดสัมผัสดังที่
พื้นเพื่อ

ρ_1 คือ รัศมีต่ำกว่า ให้ของพื้นขับ

ρ_2 คือ รัศมีต่ำกว่า ให้ของพื้นตาม

พื้นเพื่อที่ขับกัน ณ ชุดสัมผัสด จะมีการหมุน
และการลื่นไถลแก้ไขกรณีพิจารณาเพียงสถานะที่มีการ
หมุนเพียงอย่างเดียว ซึ่งจะได้ความเร็วของผิวพื้นเพื่อ
ดังนี้ [2]

$$v_{r1} = \omega_1 \rho_1 \quad (6)$$

$$v_{r2} = \omega_2 \rho_2 \quad (7)$$

เมื่อ

v_{r1}, v_{r2} คือ ความเร็วการหมุนเพื่อขับและเพื่อตาม

ω_1, ω_2 คือ ความเร็วเชิงมุมของเพื่อขับและเพื่อตาม

2.3 อิเล็กทรโอดрайฟ์เคมิคส์

ในการหดอ่อนสัมผัสโดยใช้เครื่องเคนานิคส์จะใช้
สมการเรย์โน่ค์ประยุกต์, สมการความหนาพิสัม, สมการ
ความสัมพันธ์ของค่าความหนาพิสัมและความดัน และสมการ
นาฬิกาภาระ ใน การแก้สมการ ซึ่งสมการเรย์โน่ค์เป็น
สมการที่ใช้ในการอธิบายการเกิดความดันของไอล
ในขณะที่ของไอลไหลเป็นแผ่นบาง โดยที่ของไอลนี้
พื้นที่หน้าตัดคือคงที่ตามทิศทางการไหลซึ่งลักษณะเช่นนี้
จะทำให้เกิดความดันขึ้นในของไอล ในกรณีประยุกต์
สมการเรย์โน่ค์กับสภาพการหล่ออ่อนสัมผัสโดย

ใช้เครื่องเคนานิคส์ของสกุลทรงกระบอกสัมผัสดัน โดยตั้ง

สมมุติฐานว่า ภาระถูกตัดออกตามแนวเส้นที่ขับกัน

ความกางของหน้าตัดคือ ตั้งนั้นการให้ไว้ในแบบแผน

ซึ่งไม่พิจารณา จะได้สมการเรย์โน่ค์ประยุกต์ดังนี้ [3]

$$\frac{\partial}{\partial x} \left[\rho h \left(\frac{1}{\mu_{e,2}} - \frac{\mu_{e,0}}{\mu_{e,1}} \right) \frac{\partial p}{\partial x} \right] = \quad (8)$$

$$\left(\frac{u_2 + u_1}{2} \right) \frac{\partial}{\partial x} (\rho h) + \left(\frac{u_2 - u_1}{2} \right) \frac{\partial}{\partial x} \left[\rho h \left(1 - 2 \frac{\mu_{e,0}}{\mu_{e,1}} \right) \right] + \frac{\partial}{\partial t} (\rho h)$$

จากสมมุติฐานของเชิร์ก สมการความหนาพิเศษจะได้[4]

$$h(x) = h_0 + \frac{x^2}{2R} - \frac{2}{\pi E} \int_{x_m}^{x_\infty} p \ln(x-x')^2 dx' \quad (9)$$

สมการความหนาแน่น โดย Dowson-Higginson [3] จะได้

$$\rho = \rho_0 \left[1 + \frac{0.6 \times 10^{-9} p}{1 + 1.7 \times 10^{-9} p} \right] \quad (10)$$

สมการความหนาดี โดย Roelands [3] จะได้

$$\mu^* = m_0 \left| \frac{\partial u}{\partial y} \right|^{-1} \exp \left\{ \ln(\mu_0) + 9.67 \left[1 + (1 + 5.1 \times 10^{-9} p)^2 \right] \right\} \quad (11)$$

การกระจายความดันที่เกิดขึ้นตามการคำนวณจากสมการน้ำยากระแทกได้ ดังนี้[3]

$$w = \int_{x_m}^{x_{out}} P_i dx \quad (12)$$

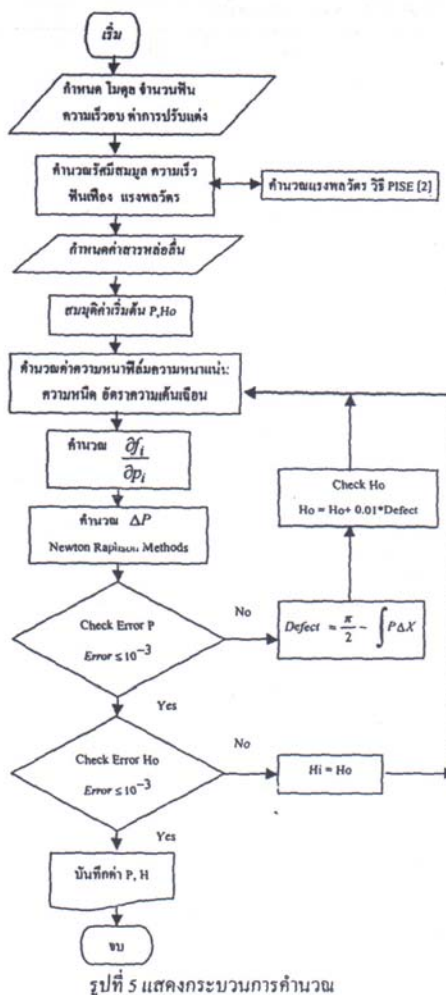
ซึ่งในการวิเคราะห์ทางกลศาสตร์นั้นนิยมทำให้สมาร์ติชูปเปบ์ไว้ก็ตั้งแต่จุดของข้อจำกัดของชาร์จอิง[3]

3. กระบวนการคำนวณ

กระบวนการคำนวณดังแสดงในรูปที่ 5 จากระบบพัฒนาเพื่อทราบหาค่าแรงผลักด้วยวิธี PISE [1] ที่มุ่งเน้นที่มีการปรับแต่งพื้น และไม่มีการปรับแต่งพื้นน้ำค่าแรงผลักด้วยได้ พร้อมทั้งคำนึงถึงความเร็ว พัฒนาเพื่อ มาพิจารณาการหล่ออื่น โดยการแก้สมการเร็ว ในค่าประทุกด้วยวิธีการแก้สมการโดยวิธีผลต่าง สินเนื่อง ซึ่งจะแบ่งครึ่ง ของการสัมผัสออกเป็น 256 ครึ่ง และใช้วิธีการผลต่างสินเนื่องแบบตรงกลาง, แบบไปข้างหน้า และแบบลับหลังในกระบวนการแก้สมการ และใช้วิธีวิวัฒนา ราฟส์ตันในการพิจารณาค่าในแต่ละชุด ซึ่งการแก้สมการนิยมทำในรูปแบบของตัวแปรไวร์นิคติ

4. ผลของการจำลอง

ในจำลองที่ใช้สารหล่ออื่น SAE90 และไม่พิจารณาอุณหภูมิที่เกิดขึ้นในกระบวนการหล่ออื่นระบบพิจารณา



4.1 ข้อมูลเพื่อตรวจสอบ

ข้อมูลที่ใช้ในการางงานการปรับแต่งมาจากการทำอุปกรณ์ชั้นของแรงผลักด้วยที่น้อยที่สุด[1]

ตารางที่ 4.1 ข้อมูลการปรับแต่งพื้นเพื่อ[1]

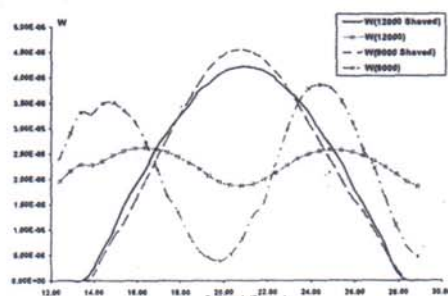
เพื่อขับ	P_{m1} (in)	3.67×10^{-4}
	ϕ_{S1} (rad)	0.36397
เพื่อความ	P_{m1} (in)	3.67×10^{-4}
	ϕ_{S1} (rad)	0.36397

ตารางที่ 4.2 ข้อมูลเพื่อองค์กร

ข้อมูลเพื่อองค์กร	
ไมดูล (น.m.)	3.175
จำนวนพื้นของเพื่อขับ, เพื่อความ (น.m.)	36.36
มุมกัด (องศา)	20
ไมดูลส์ความซีดหู่น (นิวตัน/เมตร)	207×10^9
อัตราส่วนปีช่อง	0.3
แรงบิด (นิวตัน.เมตร)	112.98
ความกว้างหน้าพื้น (น.m.)	25.4
ความเร็วรอบ (รอบ/นาที)	9,000
ความเร็วรอบ (รอบ/นาที)	12,000

ตารางที่ 4.3 ข้อมูลสารหล่อลื่น[3]

คุณสมบัติ	SAE90
ความหนาแน่น (kg/m^3)	892.8
ความหนืด动态粘度 ที่ $P = 0$ (Pa.s)	0.1946304
ค่านิความหนืด-ความคันสารหล่อลื่น(Z)	0.511
ค่านิเพาเวอร์ล็อร์(η)	1

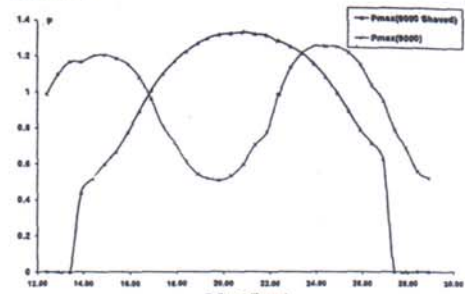


รูปที่ 6 แสดงแรง抵抗力(ไร้มิติ) ที่มุมหมุนต่างๆ

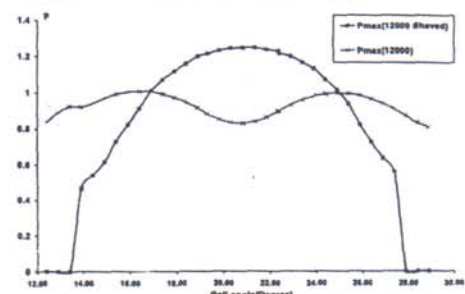
รูปที่ 6 จะเห็นว่าแรง抵抗力ที่ความเร็วรอบ

9,000 รอบต่อนาที ในกรณีที่ไม่มีการปรับแต่งพื้น จะมีค่า抵抗力ที่บีการปรับแต่ง และสำนองจะช่วยดัน ที่ความเร็วรอบ 12,000 รอบต่อนาที แรง抵抗力ของกรณีที่ไม่ปรับแต่งพื้นจะมีค่าน้อยกว่าในกรณีที่ปรับแต่งพื้น ซึ่งพิจารณาได้ว่า ที่ความเร็วรอบสูงมาก การปรับแต่งพื้นเพื่อจะลดแรง抵抗力ที่เกิดขึ้นได้ในช่วงมุมหมุนเริ่มต้น(12-16 องศา)และมุมท้ายๆ(26-29 องศา) เนื่องจากว่าการเข้าขบกันของพื้นเพื่อที่มีการปรับแต่ง

จะมีความนุ่มนวลในการเข้าขบกันมากกว่าพื้นที่ไม่ปรับแต่ง

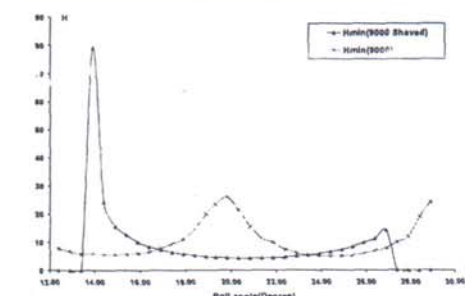


รูปที่ 7 การกระชาขความคัน(ไร้มิติ) 9,000 RPM

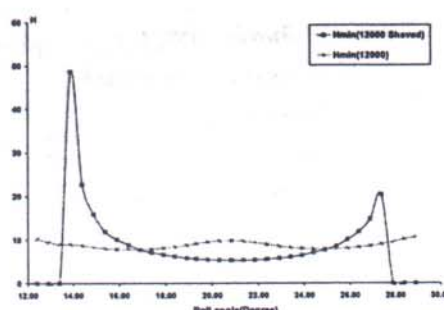


รูปที่ 8 การกระชาขความคัน(ไร้มิติ) 12,000 RPM

จากรูปที่ 7 และ 8 จะเห็นว่าเมื่อมีการปรับแต่งพื้น การกระชาขความคันที่เกิดขึ้นจะมีค่ามากกว่าการกระชาขความคันของการไม่ปรับแต่ง ซึ่งพิจารณาได้ว่า ที่มุมหมุนช่วงเริ่มต้น(12-16 องศา) การกระชาขแรงดันของพื้นเพื่อที่ปรับแต่งจะน้อยกว่า พื้นเพื่อที่ไม่ปรับแต่งเป็นผลเนื่องจากขนาดแรง抵抗力 ในทำนองเดียวกัน ในช่วงท้ายของมุมหมุน(26-29 องศา) แรง抵抗力ของการปรับแต่งพื้นเพื่อที่น้อยกว่าพื้นเพื่อที่ไม่ปรับแต่ง เป็นผลให้การกระชาขแรงดันน้อยกว่า



รูปที่ 9 การกระชาขความหนาพิล์ม(ไร้มิติ) 9,000 RPM



รูปที่ 10 การกระชาบความหนาพิล์ม(ไร้มิติ)12,000 RPM

จากรูปที่ 9 และ 10 จะเห็นได้ว่า การกระชาบความหนาพิล์มที่ได้จากการปรับแต่งจะมีความการกระชาบความหนาพิล์มที่บางกว่า แบบที่ไม่ปรับแต่งพื้นชั้งจะเห็นว่าความหนาพิล์มจะมีความหนาพิล์มน้อยมาก เมื่อมีความดันกระทำมากขึ้น ซึ่งความหนาพิล์มของพื้นเพื่องที่มีการปรับแต่งจะมีความหนาพิล์ม หนามาก ในช่วงมุนหมุนประมาณ 14 องศา ซึ่งเป็นผลมาจากการที่แรงพลัดควรที่เกิดขึ้นจากการปรับแต่งพื้นเพื่องมีค่าลดลง อย่างมาก เป็นผลให้มีความดันที่กระทำกับพื้นเพื่องที่ปรับแต่งน้อยลง

5. สรุปและวิจารณ์ผล

จากผลการจำลองจะพบว่าความหนาพิล์มที่เกิดขึ้นจะมีความสัมพันธ์กับความดันที่เกิดขึ้นนั้นคือเมื่อมีความดันสูงขึ้นจะทำให้การกระชาบความหนาพิล์มนางลง และจากการจำลองจะพบว่าเมื่อมีการปรับแต่งพื้นเพื่องแรงพลัดควรที่เกิดขึ้นจะมีค่าสูงขึ้นกว่าที่ไม่ปรับแต่งพื้น บริเวณจุดพิกัดซึ่งแสดงให้เห็นว่า ที่ความเร็วรอบสูง (12,000 rpm) การปรับแต่งพื้นเพื่องจะไม่ลดแรงพลัดควรที่เกิดขึ้นกับพื้นเพื่องบริเวณจุดพิกัดซึ่งนั้น ความหนาพิล์มนับบริเวณจุดพิกัดที่ความเร็วรอบสูง จะนางกว่าที่ความเร็วรอบต่ำ ($\sim 9,000$ rpm) นั้นและคงไว้อก้าสที่จะเกิดความสึกหรอของพื้นเพื่องที่บริเวณจุดพิกัดในการทำงานที่ความเร็วรอบสูง จะมีมากกว่าที่กว่าเร็วรอบต่ำ การเปลี่ยนแปลงแรงพลัดควรของพื้นเพื่อง แต่ในกรณีที่ปรับแต่งพื้นเพื่องจะลดแรงพลัดในช่วงมุนหมุนเริ่มต้น (12-14 องศา) และมุนหมุนท้ายๆ (26-29 องศา) เนื่องมาจาก การเข้าชนกันของพื้นเพื่องมีความนุ่มนวลกว่าที่ไม่มีการ

ปรับแต่ง จากการจำลองผลนี้ การปรับแต่งพื้นที่ความเร็วรอบสูงไม่ทำให้แรงพลัดควรที่บริเวณจุดพิกัดที่กระทำกับพื้นเพื่องมีค่าลดลง ซึ่งนั้นแสดงว่าการปรับแต่งพื้นเพื่อง โดยวิธีเดือนหน้าพื้นจะเหมาะสมกับความเร็วรอบอีกครั้ง ซึ่งจะมีการศึกษาเพิ่มเติมในส่วนความเร็วรอบอีกครั้งต่อไป

6. กิตติกรรมประกาศ

คณะผู้วิจัยขอขอบคุณ สำนักวิจัยและบริการคุณพิพัฒร์ สถาบันเทคโนโลยีพระจอมเกล้าเจ้าคุณภาพหาราคากระบัง ที่ให้ความอนุเคราะห์ในการใช้เครื่องคอมพิวเตอร์ในการประมวลผลการจำลอง และคุณกิตติ อนุศิษฐ์วิวัฒน์ ที่เคยอ่านวิทยานิพนธ์โดยคลอด

7. เอกสารอ้างอิง

- [1] M. Fimsarn., 2005. "Effect of Tooth Modification on Durability of Spur Gear Teeth." ICRAMME 05, Paper No.224, Kuala Lumpur, Malaysia, 30-31 May 2005.
- [2] American Gear Manufacturers Association, Fundamental Rating Factors and Calculation Methods for Involute Spur and Helical Gear Teeth, Revision of AGMA 2001-B88 , April 1944
- [3] เกษม ธรรม โภคสุต “อิทธิพลของสารหล่อลิ่น ของแข็งต่อการหล่อลิ่นแบบเทอร์โนมอเลต ไอโคร์ไคนามิกส์”, วิทยานิพนธ์ วิศวกรรมศาสตร์ มหาบัณฑิต, สาขาวิศวกรรมเครื่องกล, บัณฑิต วิทยาลัย, สถาบันเทคโนโลยีพระจอมเกล้าเจ้าคุณภาพหาราคากระบัง, 2545
- [4] B. J. Hamrock, "Fundamentals of fluid film Lubrication", 1994